

갈륨인 단결정 성장으로 이룩한 적색 발광 다이오드의 제작

(The Fabrication of Gallium Phosphide Red Light Emitting Diode by Liquid Phase Epitaxy)

金鍾國* · 閔碩基** · 金沃基*** · 崔永暉**** · 趙喜三雄*****

C. K. Kim, Suk-ki Min, O. K. Kim, Y. H. CHEA and H. S. Jo

要 約

파일롯트 램프와 숫자표시를 目的으로 國內에서 처음으로 化合物半導體인 갈륨 인을 使用해서 發光 다이오드를 만들었다. 이같이 만든 다이오드는 밝고 선명한 붉은 빛을 냈으며 發光하는데 필요한 順方向 바이아스 電流는 5mA 이하였다. 다이오드의 p-n 接合面은 n型 GaP 單結晶 기판에 liquid phase epitaxy 方法으로 성장시켰고 이때의 Ga 용액의 온도는 약 1300°K 정도를 유지했다. 이렇게 하여 제조된 p-n 接合體에 wire bonding 으로 ohmic contact 시켜 다이오드를 제조했다. 갈륨인 發光다이오드는 매우 적은 電流로 發光되는 장점과 성장 반응시 질소를 불순물로 doping 시키면 녹색으로 發光되는 장점을 갖고 있으므로 앞으로 양산화의 전망이 매우 밝다.

ABSTRACT

Gallium phosphide light emitting diode (LED) has been fabricated first time for pilot lamp and numeric display purposes. Bright red light is obtained in forward bias at very low current of one to five mA.

A typical p-n junction is formed by liquid phase epitaxial growth on a n-type gallium phosphide substrate. The crystal growth is achieved at about 1300°K after the equilibrium of the gallium solution followed by tipping operation.

The ohmic contact is made by wire bonding by thermal compression technique. The entire process is well fit for laboratory scale to fabricate a few hundred diodes for mainly demonstration purpose. For mass production, a large sum of the capital investment is required. The great merit of gallium phosphide LED is at low current operation, and green light emission is also obtainable by nitrogen doping.

1. 序 論

Ge 및 Si 단결정을 재료로 사용한 transistor 가 미국 Bell 전화 연구소에서 발명된 이래 四族元素인 silicon을 대치할 수 있는 재료 혹은 이와 유사한 물질을 찾고 있던 차 III-V 族의 化合物 및 II-VI 族의 化合物 單結晶에 着眼한 것은 놀라운

일은 아니겠다. 물론 單一元素인 silicon에 비해 단결정 형성 과정이 어려울 것이고 또한 高純度를 얻을 수 있을 것인가 하는 문제는 오늘날에 와서도 큰 課題의 하나가 되어 있다. 뿐만 아니라 III-V 族 및 II-VI 族 化合物인 경우 p 或은 n-type 이 여러가지 실험 조건을 바꾸어도 잘 안되는 물질이 있어서 이들 化合物 半導體의 발전을 늦추고 있는 형편이며 앞으로 당분간은 電子工業에서 silicon이 斷然 王位를 維持할 것이 기대

*; **; ***; ****; *****; 正會員, 韓國科學技術研究所, Korea Institute of Science and Technology.

接受日字 : 1973. 5. 14.

된다.

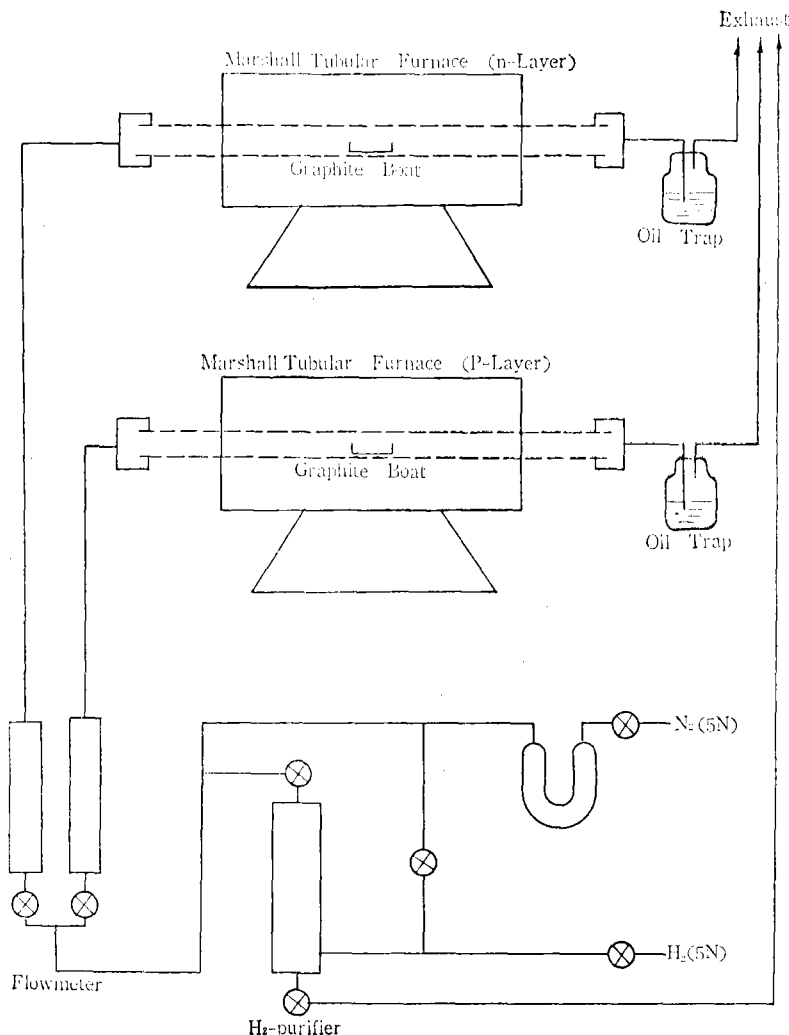
그리나 특기할 사실은 이들 化合物 半導體의 경우 silicon 이 갖지 못하는 特異한 전기적 性質을 갖는다는 데 있다 再言하면 silicon에 비해서 大體로 forbidden band gap 이 크다는 點이다. InAs(0.42eV) 및 InSb (0.22eV)는 例外的인 存在이다. band gap energy 가 約 1.8eV 以上이면 可視光을 얻을 수 있다는 것이 몇몇 이들 化合物 半導體의 特色이고 GaP(2.2eV at 300°K)의 가장 큰 매력은 역시 赤色 및 綠色을 얻을 수 있다는데 기인한다. GaP의 可視光線을 1962년에 처음 發見한 것은 Gershenson¹⁾이고 그後 主로 Bell 研究所에서 가장 활발히 연구가 進行되었다. 약 4~5년 전부터는 日本서도 벨 연구소의 개발을 部分的으로 모방하여 GaP의 發光素子의 연구가 시작되어 이젠 電子部品의 하나로서 市販할 단계에 이르고 있다. 우리나라에선 지금까지 이方面的 연구가 여러가지 경제적인 여건으로 늦었으나 昨年 九月에 GaP의 發光素子 製造에 성공 그 實驗結果를 이 論文에 발표하고자 한다.

이 논문에서 강조하고 싶은 것은 흔히 알려진 소위 混晶 LED 와 우리가 開發한 GaP의 LED를 뚜렷이 區別해야 한다는 點이다. 混晶 LED란 GaAs 단결정을 기판으로 하여 vapor-phase epitaxial growth 方法으로 GaAs, P_{1-x}를 成長시킨 후 Zn를 여러가지 化合物 형태로 하여 熱擴散시킨 것으로 赤色 發光뿐이며 電力 消耗가 GaP에 비해서 20倍 높다는 短點을 가진데다가 GaAs, P_{1-x} 단결정 형성 過程을 Monsanto 및 Texas Instrument 가 特許 獨占을 하고 있으므로 가격면으로 下落될 주제를 보이지 않으며 이方法으로는 언제까지나 assembly 밖에는 큰 所得이 안 보인다는 큰 弱點을 소유하고 있다. 이에 비해서 GaP의 發光方式은 특히 日本서 크게 脚光을 받고 있으며 이의 開發은 우리나라 電子工業의 自律的인 成長에 直結되며 이의 개발 보편화가 앞으로 올 半導體 laser 통신 및 軍事 武器의 guidance system component로서 꼭 필요로 한 laser material technology 와 連關된다는 데 큰 意義가 있다.

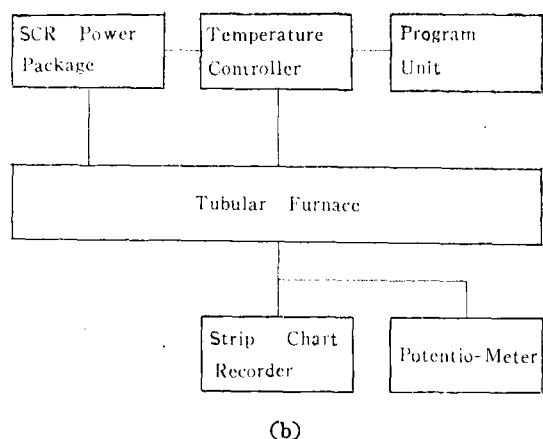
2. 實驗 方法

Liquid Encapsulated Czochralski (LEC) 方法으로 性長시킨 GaP ingot를 薄게 (280μm 정도) slice 한 것을 잘 chemical polishing한 다음 <111>의 B-face를 기판으로 사용했다. 이 기판은 유황이 1~4×10¹⁷cm⁻³ 정도 doping 된 것과 Se이 약 ~10¹⁷cm⁻³ 정도 doping 된 것이다. 이 기판을 pyrolytic graphite boat (Union Carbide 社 제품)의 一端에 놓고 다른 一端에 Ga 금속 (6'N)에 GaP 복합결정을 성장온도에서 過飽和 될 양을 넣고 n 층 성장시는 Te 금속 P 층 성장시는 Zn 와 Ga₂O₃를 첨가 불순물(dopant)로 사용하여 liquid phase epitaxial growth (LPE) 方法으로 p-n 接合을 만들었으며 성장 온도는 約 1040°C 內外로 設定했으며 冷却速度는 1.0°C/min로 했다. 그림 (1)은 p-n junction을 成長시키기 위하여 본 연구소에서 ため한 實驗 장치의 block diagram이다.

본 연구에 사용된 액상 적층 성장 實驗 장치는 그림 (2)와 같다. 이 장치의 큰 장점은 n-type 성장 전기로와 p-type 성장 전기로를 동시에 가동할 수 있도록 설계한 것이다. 이 장치의 주요 부분은 Ga 용액을 기판으로 흐를 수 있도록 하기 위한 tipping 장치위에 원통형 전기로(Marshall Furnace Co.), 가스 정제 장치, 석영관과 가스 통로등으로 되어 있다. 성장 實驗에 사용한 가스는 고순도 수소(99.999%)와 질소(99.997%)가스인데 이를 다시 정제하여 사용했다. 전기로는 길이 24인치 구경 1 1/2인치의 것을 사용했으며 온도 구배를 자유로이 조절할 수 있도록 4cm 간격으로 16개의 shunt tap이 나와 있는 것이 특징이다. 전기로의 온도 조절기 및 temperature cooling을 위하여 programmable unit를 부착하여 實驗의 정확성과 재현성을 기했다. 전기로 중심부의 온도는 Pt:10% Rh+Pt의 열전대로써 직접 recorder에 기록하는 동시 수시로 potentiometer를 使用해서 測定에 正確을 기했다. 전기로 중심부의 결정성장 온도를 均一하게 유지하기 위하여 shunt 저항을 걸어줌으로써 10cm 길이의 flat zone을 얻었다. LPE 성장법으로 p-n jun-



1-(a)



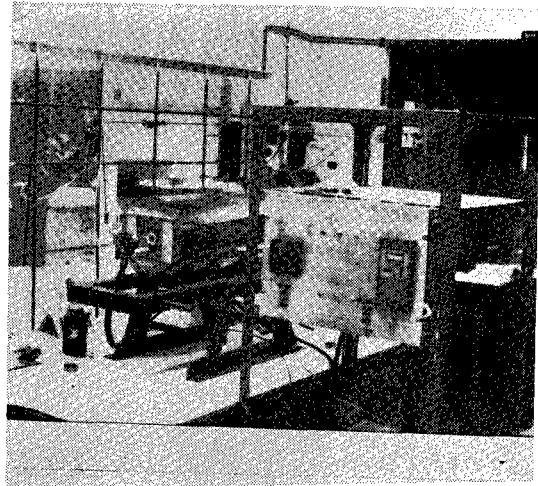
(b)

그림 1. (a) p-n 接合을 成長시키는 实验 장치의 block diagram

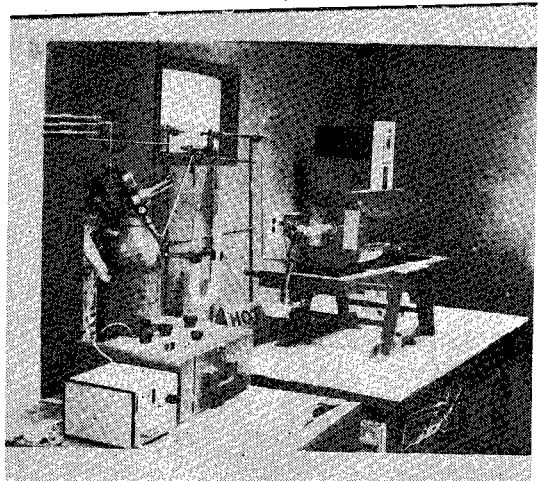
(b) 成長電氣爐의 温度 조절장치의 block dia-gram

ction ① 형성된 wafer 는 크기가 0.4mm×0.4mm 되도록 diamond scribe 로 절단하고 그림 (3)과 같은 모양으로 알루미나 분말(800mesh)로 sand blast 를 하여 n 층이 노출되도록 하고 p 층 및 n 층에 전극을 부착시켰다.

전극 부착 방법은 수소 분위기 속에서 p-n 접합 성장이 된 chip 을 400~500°C 정도로 가열하여 금선이 열에 의해 GaP 계면에서 합금 접촉이 되



(a)



(b)

그림 2. (a) p layer 액상 적층성장장치
(b) n⁺ layer 액상 적층성장장치

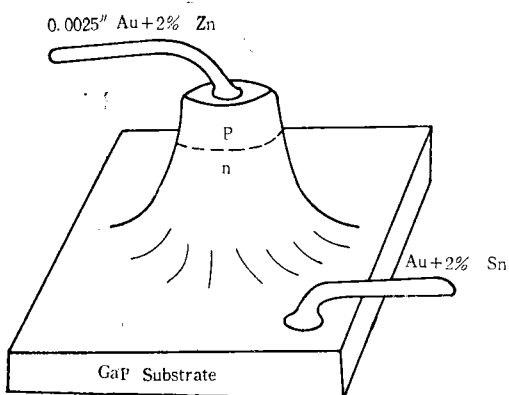


그림 3. Sand blast 된 p-n 接合層과 전극부착

도록 했다. Bonding 과정은 광학 현미경을 사용해서 육안으로 관찰하면서 재현성있게 노력했다. Wire bonding이 끝난 것을 transistor header 위에 올려서 전극을 연결하고 이같이 하여 이루어진 diode를 보호하고 또한 發光反射를 높이기 위해서 epoxy dome을 써워서 그림 (4)와 같은 모양의 시제품을 만들었다.

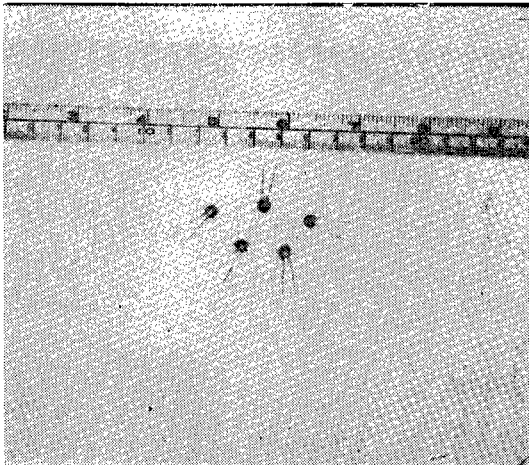


그림 4. 조립된 GaP LED 시제품

물리적 특성과 발광 효율 조사는 다음과 같이 진행했다. 먼저 기판면과 n층 및 p층의 etch pit는 널리 사용되는 etchant를 써서 이룩했고 금속 현미경을 사용하여 조사하였다. 또한 p-n 접합을 이루는 생장 단면의 결정도 역시 조사했다. LPE 성장층의 첨가 불순물의 농도 측정은 Schottky barrier diode 형성에 의한 방법으로 angle lapping을 하고 gold dot을 angle lapping 된 면위에 만든 다음 각 dot spot마다 측정하는 방법을 택했다.^{2, 3)}

GaP의 LPE 성장 접합층의 photoluminescence (PL) 및 electroluminescence (EL)는 PL인 경우 p 층 쪽에 수은등에서 나오는 빛으로 여기어서 이때 접합면에서 recombine될 때 나오는 spectra를 측정했다. PL 측정 장치의 block diagram은 그림 (5)와 같다.

EL 측정은 diode에 forward bias를 가하여 發散되는 빛을 그림 (5)와 같은 방식으로 측정했다.

발광 효율(external quantum efficiency)은 그림 (6)과 같은 방법으로 silicon solar cell로

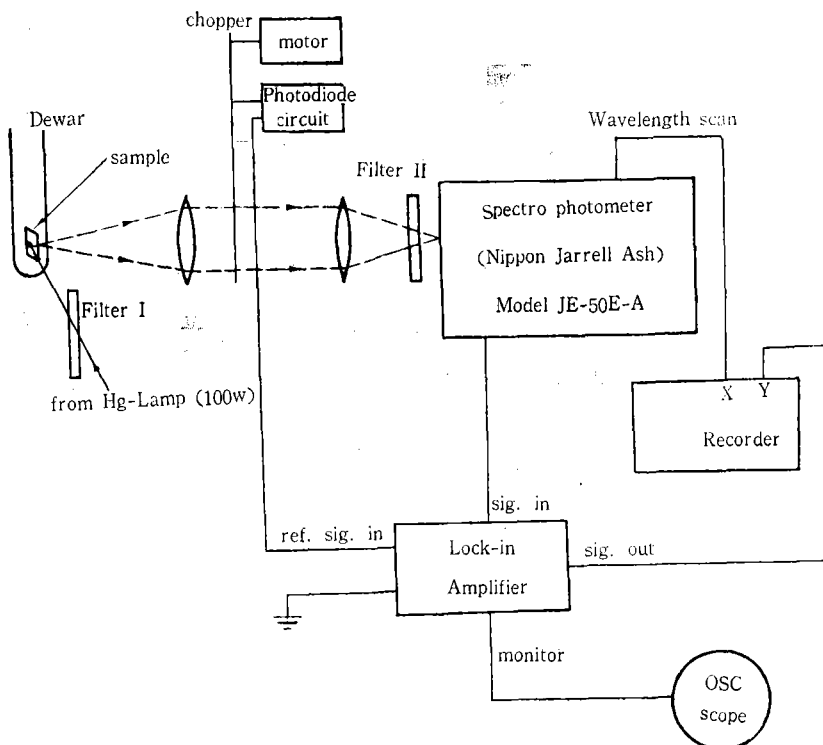


그림 5. Photoluminescence 측정 장치의 block diagram

detect하는데 이때의 극소 전류를 potentiometer로 측정했다.

3. 實驗 結果

i) 實驗에는 接合層을 成長시키기 위해서 LEC 方法⁴⁾으로 生長시킨 單結晶을 使用했지만 最近 Sony 社에서 開發한 SSD(Synthesis, Solute Diffusion) 方法으로 生長시킨 것을 使用할 수 있다. LEC 方法은 單結晶의 生長速度가 빨라 量產化에 적합하지만 發光效率를 높이기 위해서는 n⁺ 와 p 층을 이중으로 成長시켜야 된다는 단점⁵⁾을 갖고 있다. 반면에 SSD 方法은 單結晶의 生長速度는 느리나(하루에 3mm 정도 生長됨) 그위에 p 層만 成長시켜도 發光效率가 좋다는 장점이 있다^{6, 7)}. 앞으로 GaP LED를 量產화할 때 어느 方法으로 生長된 單結晶을 基板으로 使用하는 것이 經濟的으로 타당한 가는 충분히 검토되어야 할 問題이다.

GaP 基板의 B-face에 n⁺ layer를 成長시킬 때 不純物로 사용된 Te은 비교적 잘 doping($\sim 10^{17} \text{ cm}^{-3}$)되어서 만족할 만한 n⁺ layer로 成長시킬 수 있었다. n⁺ layer 위에 p layer를 成長시킬 때에는 不純物로 사용된 Zn의 vapor pressure가 높기 때문에 쉽게 증발되며 이것이 發光效率에 영향을 주는 큰 요소의 하나이고 산소의濃度를 증가 시키기 위해서 成長시 流通시켜 주는 질소가스의 流通速度 조절이 중요한 과제이다. 이상의 조건을 고려하여 pyrolytic graphite boat에 石墨 뚜껑을 덮음으로써 Zn 및 산소의 doping濃度를 증가시킬 수 있었다. 이렇게 해서 成長된 n⁺ layer와 p layer에 doping된 Te 및 Zn-O pair의濃度를 Schottky barrier 方法으로 测定한結果 각각 $\sim 1 \times 10^{17} \text{ cm}^{-3}$ 및 $\sim 2 \times 10^{17} \text{ cm}^{-3}$ 이었다.

LEC 法으로 生長시킨 GaP 單結晶 基板은 그自體를 n-layer로 사용해서 p-layer growth를

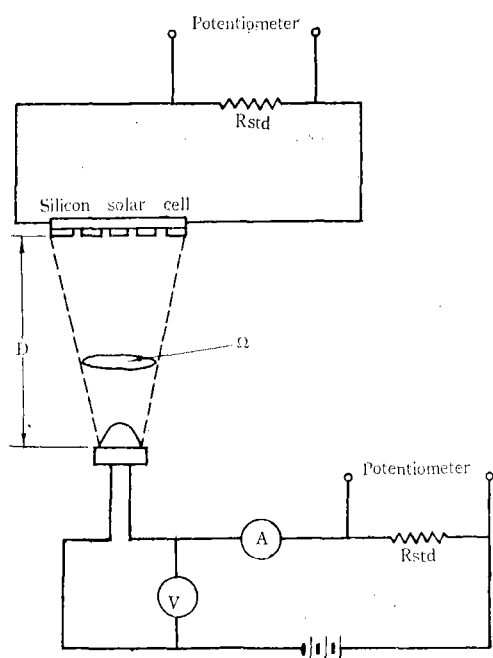


그림 6. External quantum efficacy 측정장치의 block diagram

하면 발광효율이 0.1% 이하가 되어, 효율을 올리기 위해一般的으로 n^+ layer를成長시킨 다음 p layer를成長시키는 double epitaxial growth

方法을 사용한다. 이實驗에서 사용된基板의 etch pit density는 약 $1 \times 10^6 \text{ pits/cm}^2$ 로測定되었으며 그위에 n^+ layer와 p layer를成長시켜서 etch pit density를測定한結果各各 $\sim 4 \times 10^4 \text{ pits/cm}^2$ 와 $\sim 6 \times 10^5 \text{ pits/cm}^2$ 으로나타나 etch pit density가별로적어지지않았다. 이density를적게하기위해서成長temperature,冷却speed등의因子를變化시킬必要가있으며이etch pit density가發光efficiency에어떤영향을주고있는지는아직까지잘알려지고있지않기때문에앞으로이問題는계속규명되어야할것이다. 다만R.H.Saul, et. al⁸⁾에의하여double layer로成長시킨후 600°C 내지 900°C temperature로약20時間동안熱處理를함으로써發光efficiency를몇倍정도높일수있었지만이實驗에서는큰effort를얻지못했다. Annealing condition을어떻게할것인지또한이때의mechanism이어떻게되어효율이數倍씩오르는지는상당한論難이있다.

Double layer로成長된p-n接合體를diamond scriber로切斷할때切斷부에stress가加하여져서發光efficiency이낮아진다. 그러므로그림(3)에나타낸바와같이이部分을sand blast로除去한다음王水로2~3分間etching했다. 이렇게하여노출된p layer와 n^+ layer에는導線附着時ohmic contact를쉽게形成시켜주기위해서2%Zn와2%Sn가첨가된金線을使用해서熱壓着(thermal compression)으로附着시켰다.導線附着時GaP表面상의合金接觸狀態에따라再現性이좌우되는데再現性을좋게하기위해서는

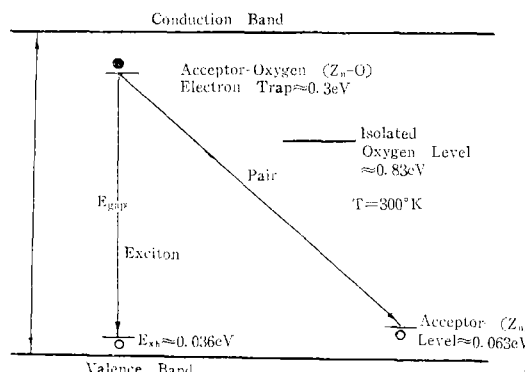


그림 7. GaP LED의 발광과정과 energy level.

bonding 技術이 熟達되어야 했었다. 最近 Sony 會社에서는 이와같은 bonding 과정을 대처하기 위해서 p layer 와 n^+ layer 에 金으로 真空蒸着 시킨 다음 그 위에 conductive epoxy 로 電極을 接着시키는 方法을 보고하고 있다⁹⁾. Wire bonding 時의 酸化를 막기 위해서 雾圍氣 gas 로서 수소 질소 알곤 가스를 생각할 수 있겠는데 이 實驗에서 수소 雾圍氣일 때 再現성이 가장 좋았다.

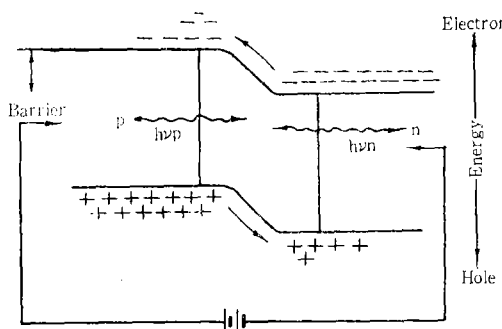


그림 8. p-n 접합층의 electroluminescence

p layer 와 n^+ layer 에 導線이 附着된 다음에는 이를 트랜지스타 헤다위에 붙이고 epoxy dome 을 씌워서ダイオード를 보호하는데 이때 epoxy의 transmittance index 가 1.4 내지 1.6 정도 되는 것을 使用함으로써 發光되는 빛을 완전히 放射할 수 있도록 노력했다.

그림 (7)에서 GaP 의 赤色可視光의 發光原理를 살펴보면, p-n 接合層의 順方向 바이어스를 가하여 少數의 carrier 電子를 注入시킬 때 p 層內에서 이웃해 있는 Zn 와 산소의 電子가 Zn-O complex 를 만들어 이 complex 에 電子가 붙잡히게 되고 붙잡힌 電子 때문에 Zn-O complex 는 電氣的으로 陰性이 되어서 hole 과 함께 exciton 을 만들게 된다. 이 exciton 이 decay 되면서 赤色發光을 하는 경우와 Zn acceptor 에 속박되어 있는 hole 과 recombination 하여 빛을 내게 되는 것이 一部이나 상온에서는 exciton 에 의한 發光 현상이 大部分 占有하는 것으로 알려져 있다.¹⁰⁾

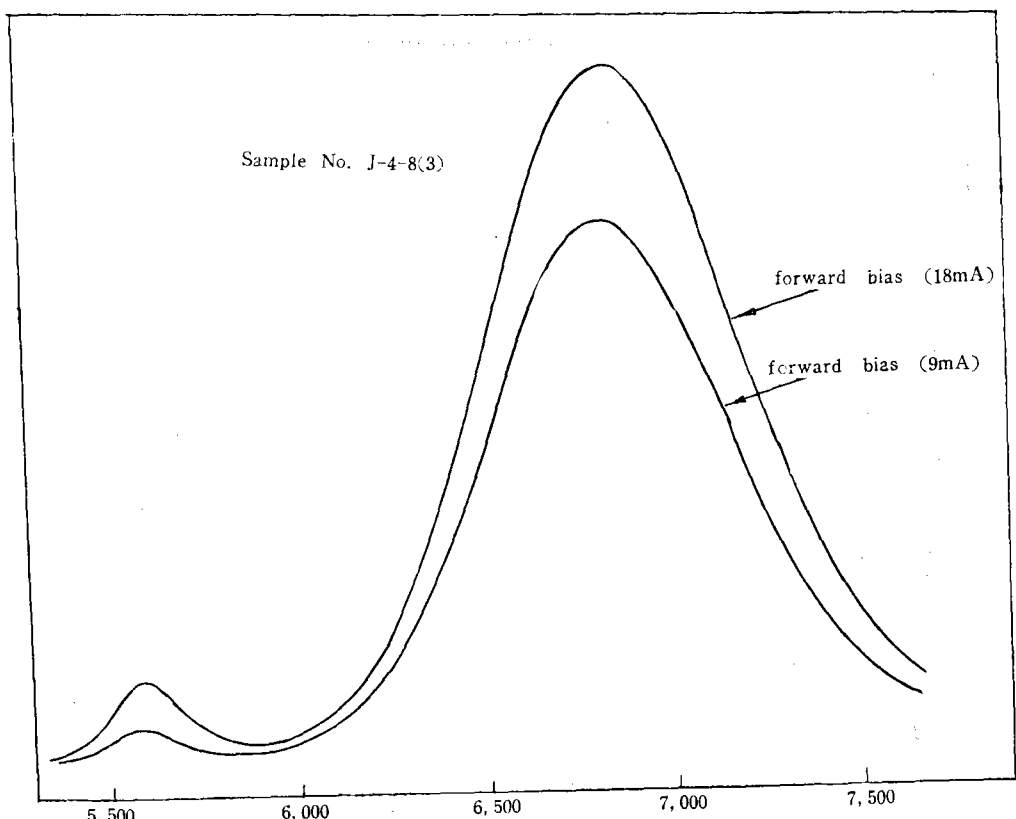


그림 9. Gap LED 의 electroluminescence 的 spectra

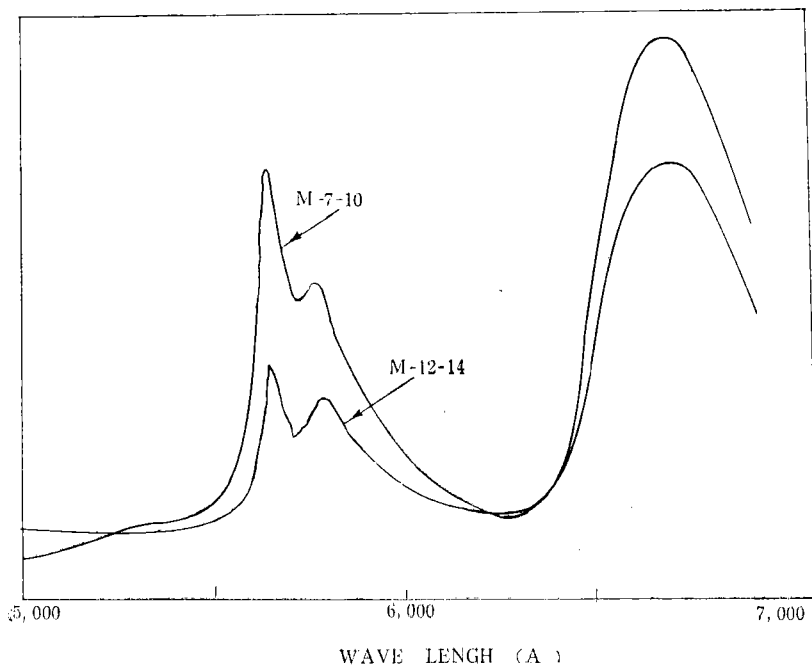


그림 10. GaP LED 의 photoluminescence 的 spectra

그림 (8)은 p 層內에서 少數의 carrier 인 電子가
다이오드의 順方向 바이어스 電壓에 의해 n 層으
로부터 注入되는 것을 나타낸 것이다. 이 注入된
電子만이 Zn-O complex 에 붙잡혀 빛을 내는데
이 빛을 monochromater로 分光시켜서 그림 (9)
에 나타냈으며 그림 (10)은 파장이 짧은 수은등
으로 excite 시켰을 때의 Zn-O complex 가 re-
combintion 되는 photoluminescence 的 spectra
를 나타냈다. 두 그림에서 보면 6850Å에서 나타
난 spectra 는 Zn-O complex 의 recombination
을 나타낸 것이고 6000Å 이하에 나타난 spectra
는 Zn-Si 또는 Zn-S complex 의 recombination¹⁷⁾ 으로 추측되고 있으며 어째서 이런 不純物
들이 單結晶成長時 doping 되었는지는 규명되어
질 문제이다. 끝으로 이 實驗에서 製造된 GaP
LED 的 發光效率(external quantum efficiency)
測定은 效率이 알려진 GaP LED 를 표준으로 하
여 测定하는 方法과 絶對的인 测定方法을 들 수
있다. 본 연구에서는 前者를 擇하여 silicon solar
cell 的 photocurrent 를 比較함으로써 효율 测定
을 했으며 본 연구에서 얻어진 diode 가 약 1%
가까운 효율을 热處理 없이 얻어진 것은 큰 성과
라 하겠다.

4. 結論

우리의 손으로最初로赤色發光ダイオード를
만드는데 성공했다. 시리콘 단결정도 생산안되는
현시점에서 III-V族化合物半導體를 기판으로
double layer liquid phase epitaxy 生長方法으로
단결정을 기르고 p-n junction forward bias를
걸어 줄으로써 밝은赤色을 얻을 수 있었다는事實
과 indicator lamp 및 numeric display에 利用度가
클 것임을 力說한다. 본 연구에서는 LPE
方法을 사용해서 結晶 성장을 시켰으나 vapor
phase epitaxy 方法도 利用할 수 있을 것이다.
또한 Zn를 diffuse 하여 p-n junction 을 이룩할
수도 있다. 이번 實驗이 우리나라 電子工學會에
多少라도 刺戟이 되기를 바라며 더 仔細한 實驗의
内容에 대하여는 著者들에게 直接 問議있기를
바란다.

5. 감사의 말

이 연구에 있어서 丁元 박사의 아낌없는 協助
와 지대한 관심과 격려에 대하여 마음 깊이 감사
하며 延世大의 鄭重鉉 교수가 PL 및 EL 측정에
있어 소중한 기기 사용을 허용해 주신데 감사하
며 金仁甲씨의 bonding 및 crystal growth에 있

어서 忍耐力 있는 労苦를 真心으로 감사합니다.
이 project 는 科學 技術處의 研究 資金으로 이룩
되었음을 밝혀 듭니다.

參 考 文 獻

1. M. Gershenson, IRE Trans. Electron Devices, ED9 (1962) 503.
2. D.C. Gupta, Solid State Tech. 11 (1968) 31.
3. A.R. Peaker, et. al., Solid State Electronics,
4. A. VonNeida, Personal Communication, 1972.
5. R.A. Logan, Personal Communication, 1972.
6. A. Kasami, Personal Communication, 1973.
7. H. Kukimoto, Personal Communication, 1973.
8. R.H. Saul, J. Armstrong, W.H. Hackett, Jr. Appl. Phys. Letters. 15. (1969) 229.
9. 離井節夫, エレクトロニクス ジャーナル, 3月號 (1973). pp. 318~322